

# Türkiye'de Deprem Etkinliğinin Nicel Saptanması

Demir KOLÇAK

**ÖZET :** 1901-1973 yılları arasında oluşan depremlerin büyüklükleri (magnitüd) ve oluşum sayılarından (frekans) yararlanılarak Türkiye'nin ( $34^{\circ}$ — $43^{\circ}$ N ;  $25^{\circ}$ — $45^{\circ}$ E) deprem etkinliği haritaları saptanmıştır. Bir birim alan ( $0.3^{\circ} \times 0.3^{\circ}$ ) için saptanan deprem etkinliği, komşu birim bölgelerde oluşan depremlerin etkinliklerini de içermektedir.

Deprem etkinliği haritaları ile karşılaştırmak amacıyla, Türkiye'nin Bouguer anomali haritasından yararlanılarak, Moho Süreksizlik Haritası hazırlanmıştır.

**ABSTRACT :** Seismic Activity Maps of Turkey ( $34^{\circ}$ — $43^{\circ}$ N ;  $25^{\circ}$ — $45^{\circ}$ E) are determined from the magnitude and occurrence number (frequency) of the earthquakes which occurred within the period of 1901-1973. The calculated seismic activity for a unit area ( $0.3^{\circ} \times 0.3^{\circ}$ ) also includes the effects of the earthquakes occurred in the neighbourhood unit areas.

The map of Moho discontinuity has been prepared from the Bouguer Anomaly Map of Turkey for the purpose of comparing with the seismic activity maps.

## 1. Giriş

Depremler nedeniyle ne kadar çok zarara uğrıldığı iyi bilinen bir gerçekdir. Özellikle az gelişmiş ve gelişmekte olan ülkeler için sorun, ekonomik açıdan, daha da büyük önem kazanmaktadır.

Depremleri durdurmak olanaksız olduğu na göre tek çıkar yol, onların zararlarını azaltıcı çabalarla bulunmak ve bu önemli konuda araştırmalar yapmaktadır.

Bu soruna çözüm getirmek amacıyla yapılan araştırmalar, genellikle iki yoldan yürütülmektedir. Bunlardan ilki, depremi önceden haber verme (earthquake prediction) konusunda yapılan araştırmalardır. Bu konuda, çeşitli ülkelerde, birçok araştırmacı tarafından çalışmaları yapıldığı gibi Türkiye'de de son yıllarda değerli araştırmalar yapılmıştır. İkinci yol ise depreme dayanıklı yapılarla deprem zararlarını azaltma yolunda yapılan çalışmalardır. An-

cak, depremi önceden haber verme konusu sayede taşınabilir ekonomik değerler için önem kazandığı halde, depreme dayanıklı yapılm her türlü ekonomik değerlerin korunmasında geçerli olmaktadır.

Depreme dayanıklı yapı sorununu çözümleneyebilmek için, yapı planlayıcılarına gerekli verilerin en önemlilerinden biri de, ele alınan bölgein depremselliği (sismisitesi)'dır.

Deprembilim (Sismoloji) fiziksel ve matematiksel niteliklerinden ötürü, gerçek bir bilim dalı olduğuna göre, ilk olarak depremselliğin bir tanımını yapmaya çalışmadır. Şunu belirtmeliyiz ki tam bir tanım yapmak oldukça güçtür ve bu konuda araştırmacıların görüşleri arasında aykırılıklar vardır. (Zatopek, 1969). İlginçtir ki B. Gutenberg bine, deprembilim için çok önemli olan kitabında (1954), depremselliğin tanımını vermekten kaçınmıştır. Fakat en azından, deprem-

sellik denilince neyin söylenip, neyin söylemeyeceğini bilmek amacıyla bir tanımlama yapmaya çalışmalıyız.

Bugün depremselliği, "ele alınan bölgede, deprem etkinliğinin (sismik aktivite) genel özelliklerini belirleyen kullanımı veriler" olarak adlandırabiliriz. Açıkça görülmektedir ki, depremsellik, ele alınan bölgenin boyutlarına, fiziksel özelliklerine ve inceleme süresine bağlı olacaktır. Başka bir deyişle, *depremsellik yer ve zamana bağlı olarak değişen bir niteliktir*.

Gözlenen depremlerin zamana ve yere bağlı dağılımlarını inceleyebilmek için güvenilir biçimde hazırlanmış deprem katalogları gereklidir. Bu kataloglarda, depremlerin sınıflandırılmaları elden geldiğince basit olmalı, fakat gerekli bütün veriler de bulunmalıdır. Bilindiği gibi, depremle ilgili bütün parametreleri saptayabileceğimiz, beş temel büyülüklük enlemi ( $\phi$ ), boylamı ( $\lambda$ ), içmerkezin (hiposantr) derinliği ( $h$ ), oluş zamanı ( $t$ ) ve depremle aşağı çıkan enerji ( $E$ )'dır.

Depremsellik konusundaki çalışmalara başlangıçım Montessus de Ballore (1900) tarafından yapıldığını söyleyebiliriz. Yapılan bu çalışmada, tarihsel kayıtlardaki anlatımlardan yararlanılarak büyük depremlere ait veriler bir kitapta toplanmıştır.

Fakat, bugünkü yöntemler kullanılarak, bu veriler değerlendirilirse, elde edilecek sonuçların yanılıcı olacağı bir gerçekertir. Bu çeşit veriler aletsel olmadığından, depremleri veya değişik bölgelerin deprem etkinliğini nicel olarak karşılaştırmak olanaksızdır. Hatta, anlatılan depremlerin önemini saptamak veya enerjileri ile ilgili bazı sınıflandırmalar yapmak bile hemen hemen olanaksızdır. Ancak, anlatılan deprem sayısı ve yıkımları (hasar) gözönüne alınarak nitel bazı yorumlar yapılabilir. Bu nedenle, Montessus de Ballore, sadece depremin oluşumunu ve etkilerini tanımlayıbmış ve deprem bölgelerini kabaca, duraklı veya deprem olmayan bölgeler, orta derecede deprem ve deprem bölgeleri olmak üzere üç gruba ayırmıştır. Böylece depremselligin araştırılmasında ilk adım atılmış olmaktadır. M.

de Ballore, ayrıca, deprem etkinliğinin yüksek olduğu bazı doğrultular saptayarak bu doğrultuların geniş çaplı jeoloji ile ilgilerini belirlemek istemiştir. Ancak, bu tür bir girişimin başarıya ulaşabilmesi için daha iyi gözlemsel ve tektonik veriler gereklidir ki o günün koşullarında bu bilgilerin yeterli olmadığı açıktır.

Depremsellik konusunda araştırmalara Sieberg (1904) tarafından devam edilmiş ve Mercalli-Cancani-Sieberg ölçüleri olarak bilinen ve makrosismik etkilerin sınıflandırılmasında, uluslararası bir ölçek olarak kullanılan deprem ölçüleri geliştirilmiştir. Sieberg, depremselligi, inceleme bölgesinde ortalama olarak yılda bir depremin olduğu kare şeklindeki alanın bir kenarı olarak tanımlamıştır. Ele alınan bölgenin alanına  $S = a^2$  dersek ve bu alanda  $t$  yılda oluşan deprem sayısı  $N$  ise yıllık ortalama deprem sayısı  $N/t$  olur ve depremsellik :

$$a = \sqrt{St/N} \quad 1.1$$

bağıntısı ile verilir.

Görülmektedir ki bu büyülüklük depremselilik kavramıyla pek bağdaşmamaktadır. Çünkü deprem sayısı  $N$  arttıkça  $a$  büyülüklüğü küçülmektedir. Daha sonraları bu büyülüklük yerine,  $b = 1/a$  alınarak,

$$b = \sqrt{N/St} \quad 1.2$$

büyüdüüğünün daha uygun olabileceği görüşü ileri sürülmüşse de bu yöntemle yapılan çalışmalar yetersiz kalmışlardır.

Sieberg'in çalışmalarının en yararlı yönü, çeşitli etkileri kapsayan, yüzeysel gözlenimlerin değerlendirilmesini sistematik bir biçimde sokmuş olmasıdır. Bu nedenle, Sieberg, deprem jeolojisi ve deprem tektoniğinin kurucusu olarak kabul edilmektedir. Ancak, depremin yüzeysel etkilerinin gözlemine dayanılarak yapılan değerlendirmelerde, gözlemlerin niteliği, niceliği ve gözlemcinin kişisel görüşleri sonuçlar arasında büyük aykırılıklar oluşturmaktadır.

Depremsellik konusundaki en önemli aşama, Richter'in (1935), depremleri sınıflandırmak için, aletsel verilere dayanan sayısal bir değer saptaması ile olmuştur. Richter, bu sayısal değeri, deprem büyülüğu (mag-

nitüd) olarak adlandırmış ve Wood-Anderson burulma (torsion) deprem çizerinin (sismograf) ( $V_0 = 2800$ ,  $T_0 = 0.8$  san.), deprem dış merkezinden (episantr) 100 km uzaklıkta, kaydettiği en büyük genliğin mikron olarak değerinin on tabanına göre logaritması olarak tanımlamıştır. Gutenberg'in (1942), bu tanımlamadaki "kaydedilen genlik" yerine, yer hareketinin gerçek değerini kullanmasıyla deprem büyüklüğü, depremin en önemli sayısal parametrelerinden biri olmuştur.

Gutenberg ve Richter (1941, 1942 ve 1945) ilk olarak depremin içmerkezinden (hiposantr) deprem dalgaları biçiminde yayılan enerjinin, deprem büyüklüğünden (magnitud), nicel olarak saptanmasını sağlayacak bağıntıları vermeyi başarmışlardır.

Böylece, deprem büyüklüğünü, ölçek olarak kullanma, depremselliğin araştırmalarına yeni olağanlıklar kazandırmış ve deprembilimciler deprem oluşumunda enerji dengesi sorununu daha etkin bir biçimde araştıramışlardır, orojenik hareketlerdeki kuvvetleri inceleme ve deprem etkinliğini, belirli zaman aralığında, belirli bir alandan yayılan enerji olarak ele alıp, bölgeler arasında karşılaştırma yapabileme olanağını sağlamışlardır.

Depremselliğin tanımlanmasında değişik anlayışlar olduğunu belirtmişler. Tanımlamalar arasındaki aykırılıkların doğal sonucu olarak, depremselliğin saptanmasında da değişik yöntemler uygulanagelmiştir.

Byerly (1942), depremleri şiddetlerine göre gruplandırmış ve her grup için göreceli (itibarı) bir katsayı belirlemiştir. Deprem şiddeti I ile gösterilirse bu katsayılar şöyledir:

$$\begin{aligned} I < 7 \text{ için } P_i &= 5 \\ 7 < I < 8 \text{ için } P_i &= 25 \\ 8 < I \text{ için } P_i &= 125 \end{aligned}$$

Her gruptaki deprem sayısı  $n_i$  ise Byerly'nin, depremselliğin bir ölçüsü olarak kullandığı indeks:

$$I = (\Sigma P_i n_i) / (\Sigma P_i) \quad 1.3$$

bağıntısı ile verilmiş olur.

Görülmektedir ki bu indeks, kullanılan katsayıların seçiminde fiziksel bir temelin olmayışı nedeniyle, ortalama şiddetin bir göstergesi olmaktadır. Ancak depremselliğin nicel bir tanımlaması olmaktan uzaktır.

Bath (1952), Sponheuer (1953), Toperczer (1953), Trapp (1954), deprem etkinliğinin ölçüsü olarak, birim zamanda, birim alandan yayınlanan toplam deprem enerjisini kullanmışlardır.

$$S = \frac{K}{A \cdot T} \int \int E \cdot dA \cdot dT \quad 1.4$$

Bu bağıntıda A alan, T gözlem süresi, E depremin enerjisi, K ise kullanılan birimlere bağlı bir katsayıdır. Bu yöntemle yapılan saptamalarda küçük şoklar, açığa çıkan enerji değerine olan katlarını hemen hemen kaybetmektedirler.

Benioff (1949), deprem enerjisi yerine, elastik strain enerjisinin, zamanla değişimini, bir seri araştırmaya incelemiştir, Ritsema (1954) ve St. Amand (1956), depremselliği "birim zamanda birim alanda açığa çıkan elastik strain enerjisi" olarak tanımlamış ve

$$F = \frac{K}{A \cdot T} \int \int E \cdot 1/2 dA \cdot dT \quad 1.5$$

bağıntısıyla saptanılan "tektonik akı" deyimi ni kullanmışlardır. Bu bağıntıda  $E^{1/2}$ , deprem elastik strain enerjisini göstermektedir, Zatopek ve Ambraseys (1967)

$$E = \frac{1}{A \cdot T} \sum_{i=1}^n E_i \quad 1.6$$

bağıntısından elde edilen ve "enerji akısı" diye adlandırdıkları büyülügün, yere bağlı değişimini incelemiştirlerdir.

Ullmann ve Maaz (1967) ise deprem enerjisinin, deprem koordinatları ile ilgili bir fonksiyonla çarpımlarının toplamını alarak depremselliği tanımlamaya çalışmışlardır. Bu yöntemde, yüzeydeki bir Z noktasında  $S(Z)$  depremselliği

$$S(Z) = \sum_{i=1}^n S_i(Z) = \sum_{i=1}^n E_i P_i(Z) \quad 1.7$$

bağıntısı kullanılarak saptanmaktadır. Burada  $E_i$  depremin enerjisi,  $P_i(Z)$  ise  $i$ inci depremin Z noktasındaki "dağılım yoğunluğu" diyen adlandırılan ve depremin koordinatlarıyla ilgili fonksiyonun değeridir.

Görülmektedir ki depremsellik çalışmalarında deprem enerjisi çeşitli yöntemlerle kullanılmıştır. Bunun başlıca nedeni, deprem enerjisinin yeteri kadar güvenilir ve duyarlı saptanması koşuluyla, skaler bir büyülük oluşu ve bu özelliğinden dolayı matematiksel işlemlerde kolaylık sağlayacaktır. Ancak, deprem enerjisinin veya karekökünün, depremselliğin ölçüsü olarak kullanıldığı bu tür depremsellik araştırmalarında belirli büyülükteki şoklar gözönüne alınmaktadır. Bilindiği gibi, genellikle, büyük depremler küçük depremlere oranla daha az oluşmaktadır. Bu nedenle, sadece büyük depremlere ait az sayıdaki veri ile yapılan depremsellik saptamaları, büyük değişimler göstermekte ve sonuçlar yeterli olmadığından depremselliğin nice bir göstergesi de olamamaktadır.

Küçük depremlerin enerjilerini de gözö-  
nüğe aldığımız zaman, yerinin fiziksel özel-  
liklerinden dolayı, yapı planlayıcılarını yanlış-  
lıkla düşürebilecek sonuçlar elde etmek olası-  
lığı ortaya çıkmaktadır. Örneğin, sürekli ola-  
rak, küçük depremlerin olduğu bir bölgede,  
açığa çıkan enerjiye dayanılarak saptanan  
deprem etkinliğinin, uzun süre durağan kala-  
rak biriken enerjinin bir büyük depremle açı-  
ğa çıktığı başka bir bölgede saptanan deprem  
etkinliğinden daha büyük olduğu görülebile-  
cektir (Kolçak, 1975).

Gutenberg ve Richter (1954), bütün dünya için büyük depremleri sayılama (istatistik) yöntemi ile analiz ederek, depremleri büyüklüklerine göre sınıflandırmış ve her gruba ait büyüklükle (magnitüd) deprem sayısını grafiklemiştir. Enerjinin geniş bir aralığı için bu grafik, yaklaşık olarak, doğrusal bir biçim göstermiştir. Bu grafiğin eğimi, içmerkezi kabukta olan depremler için,  $\gamma = -0.45$ ; orta derinlikteki depremler için ise bu-

na çok yakın bir değer bulunmuştur. Benzer biçimdeki grafikler Bune (1956) tarafından orta ve büyük şiddetteki depremler için yapılmış ve yaklaşık olarak doğrusal biçimde oldukları görülmüştür. Ayrıca Kawasumi (1952), Savarensky (1957), Riznichenko (1958), Bath (1960) ve başkaları tarafından benzer çalışmalar yapılagelmiştir. Başlangıçta yapılan bu çeşit araştırmalar içinde en yeterli Gutenberg ve Richter'in olanıdır ve yaklaşık olarak beş değişik enerji basamağını kapsamaktadır.

Riznichenko'nun yaptığı bir seri araştırmada ise bu konuda yeni bir aşama olmuş ve depremselliği nicel olarak tanımlayabilecek büyüklükler saptanmıştır. Yapılan bu araştırmalarda, bütün depremler kullanıldığı için, yukarıda belirtildiği üzere, sadece büyük şokların etkisini içeren yöntemlerdeki sakincalar giderilmiş ve yapı planlayıcıları için gerekli veriler, uygun biçimde saptanabilmiştir. Bu tür bir çalışmada en ilgi çekici olay, çizilen grafiklerden saptanan eğimlerin yaklaşık olarak durağan kalmasıdır. Değişik bölgelerde yapılan uygulamalar sonucu  $\gamma = -0.45 \pm 0.05$  olarak bulunmuştur. Böylece, genel bir fiziksel kural saptanmış olmaktadır. Bir fiziksel niteliğin değerlendirilmesinde geçerli olan, değişmez kalan (invariant) özelliğin belirlenmesidir. Yalnız, şunu söylemek gerekir ki küçük bölgelerde  $\gamma$ 'nın özgül (specific) değeri değișebilecektir.  $\gamma$ 'nın yaklaşık durağanlığı bize bu büyülüğu, deprem etkinliğinin universal bir katsayısi olarak tanımlama olanağı vermektedir. Bu temele dayanarak yapılan deprem etkinliği çalışmaları bize, bölgeler arasında nicel bir karşılaştırma olanağı da sağlayacaktır.

Türkiye'de, bugüne kadar, depremsellik konusunda birçok çalışma yapılmıştır. Bunlar arasında Omote ve İpek (1959), Öcal (1962), İpek, Uz ve Güçlü (1965), Tabban (1970), Tabban ve Gençoğlu (1973) tarafından yapılanları sayabiliriz. Bu konuda çalışmalar bugün de devam etmektedir. Sadece açığa çıkan deprem enerjisine veya gelişigüzel seçilmiş parametrelere dayanılarak yapılan deprem etkinliği saptamalarının yeterli olmadığını yukarıda belirtmiştik. Deprem büyüklüğü ve

o büyüklükteki deprem sayısına, sayılama yöntemleri uygulanarak yapılan çalışmalar da ise araştırmacılar, ön yargilarla, inceleme alanını daha küçük birkaç bölgeye ayırarak bu bölgelerin deprem etkinliğini saptamışlardır. Gerçekte, inceleme alanının, olanaklar elverdiği kadar küçük, birim bölgelere ayrılarak, deprem etkinliklerinin saptanması ve özellikleri aynı bulunanların birleştirilmesi gerektiği, açıkça görülmektedir. Bu nedenlerle, Türkiye'de, bugüne kadar yapılan depremsellik araştırmaları, kanıميةca nice olamadıkları gibi yetersiz de kalmışlardır.

Ülkemizde de depremsellik çalışmalarını daha uygun ve nice bir temele oturtmak amacıyla, ilke olarak, Riznichenko'nun geliştirdiği yöntem,  $25^{\circ}$ - $45^{\circ}$ E ;  $34^{\circ}$ - $43^{\circ}$ N sınırları içerisinde kalan alana uygulanmış ve elde edilen değerler harita haline getirilmiştir.

## 2. VERİLER

Bu araştırmada, ilk adım olarak, verilerin derlenmesine çalışılmıştır. Bilindiği gibi, yakın zamana kadar, ülkemizde sismik istasyon sayısının ve devamlı çalışır durumda olanların da dağılımlarının yeterli olmayışı, ve ri eksikliğine yol açmaktadır. Ayrıca, Türkiye'deki depremleri kapsayan yeterli bir katalogun henüz varolmayışı, bu aşamada karşılaşılan en büyük güçlüğütür. Bu nedenle çeşitli kaynaklardan yararlanma yoluna gidilmiş (Ergin, 1967; Karnık, 1969; USCGS bültenleri) fakat, kaynaklar arasındaki aykırılıklar, çözülmesi güç sorunlar doğurmuştur. Elden geldiğince, eksik depremler birbirlerinden tamamlanmış, deprem büyüklüğü saptanmamış olanlara işlem uygulanmayarak, aynı depreme ait büyüklüklerden, daha çok istasyon yardımıyla saptanmış, güvenilir olanlar yeğ tutulmuştur.

İnceleme bölgesi olarak  $34^{\circ}$ - $43^{\circ}$ N enlemleri ile  $25^{\circ}$ - $45^{\circ}$ E boylamları arasındaki alan; değerlendirme aralığı olarak da 1901-1973 aralığı ele alınmış ve böylece elde edilen 1837 depreme ait veriler, bilgisayarda işlem yapabilmek amacıyla kartlara geçirilmiştir.

İkinci adım olarak, bölgelerde açığa çıkan ortalama enerji akısını (Ek. I. a) ve deprem-

lerin açığa çıkan enerjilerine göre gruplandırılmasını sağlayacak (Ek. I. b, d) bilgisayar programları ve bu programlardan alınacak sonuçlara uygulamak üzere en küçük kareler yöntemi temel alınarak, başka programlar hazırlanmıştır. (Ek. I. c, e).

Ege denizinin Bouguer anomali haritası (Allan and Morelli, 1971) ile Türkiye'nin T.C. Harita Genel Müdürlüğü'nde tamamlanmış fakat yayınlanmamış Bouguer anomali haritalarından yararlanarak elde edilen veriler kartlara işlenmiş, Türkiye'de kabuk kalınlığının saptanabilmesi için gerekli bilgisayar programları hazırlanmıştır (Ek. II. a, b, c).

Ayrıca, bölgede açığa çıkan yıllık toplam enerjilere uygulanmak üzere Spectrum programı geliştirilmiştir (Ek. III. a, b).

## 3. KULLANILAN YÖNTEMLER

### a) Deprem Etkinliğinin Saptanmasında Kullanılan Yöntem

Daha önce, bu uygulama için Riznichenko'nun geliştirdiği yöntemin, diğer yöntemlere göre daha yeterli ve nice olduğu için, ilke olarak benimsendiğini belirtmişim. Şimdi bu yöntemin ayrıntılarını inceleyelim.

Bilindiği gibi, bir depremin enerjisini, büyüklüğünden yararlanarak saptayabilmekteyiz. Ancak verilerin derlenmesi için kullanılan kaynaklarda, yüzey dalgalarından saptanan deprem büyüklüğü  $m_s$  ve cisim dalgalarından saptanan deprem büyüklüğü  $m_b$ , olmak üzere iki tür büyülüklük verildiğinden

$$m_b = 2.6 + 0.58 m_s \quad 3.1$$

bağıntısından yararlanılarak elde edilen

$$\log E = 12.24 + 1.44 m_s \quad 3.2$$

ve

$$\log E = 5.78 + 2.48 m_b \quad 3.3$$

bağıntıları (Bath, 1976), deprem enerjisini, erg olarak saptamada kullanılmıştır. Saptanan deprem enerjisinin Joule olarak değerinin logaritması, o depremin enerji sınıfı olarak tanımlanır (Riznichenko, 1958).

$$K = \log E \text{ (joule)} \quad 3.4$$

Başka bir deyişle, bir depremin enerji siniğini saptamak amacıyla

$$K = 5.24 + 11.44 m, \quad 3.5$$

ve

$$K = -1.22 + 2.48 m_b \quad 3.6$$

bağıntıları kullanılmıştır.

Belirli bir gözlem aralığı, T yıl boyunca oluşan deprem sayısı N ise, bunları enerji sınıflarına göre gruplandırmak gerekmektedir. Depremleri enerji sınıflarına göre gruplandırırken,  $K_i$  enerji sınıfının alt ve üst sınırlarını  $K_i - 0.5$  ve  $K_i + 0.5$  olarak belirlemek, sayılama analiz yöntemleri bakımından daha uygun olmaktadır. Her enerji sınıfındaki şok sayısı  $N_i$ , gözlem süresine bölünerek yıllık ortalama oluşum sayısı bulunur.

$$\bar{N}_i = N_i/T \quad 3.7$$

Enerji sınıfı  $K_i$ , yatay eksen ve yıllık ortalama oluşum sayısının logaritması  $\log \bar{N}_i$  ise düşey eksen olmak üzere grafiklenir. En küçük kareler yöntemiyle, bu noktalardan geçen, en uygun doğrunun denklemi saptanır.

$$\log \bar{N} = \gamma K + \beta \quad 3.8$$

Bu denklem yardımıyla, deprem etkinliği

$$A_K = 10^{\log N} = 10^{\gamma K + \beta} \quad 3.9$$

olduğundan, istenen  $K_i$  enerji sınıfı için saptanabilir. Deprem etkinliği  $A_{Ki}$  fizik anlam bakımından  $K_i$  enerji sınıfındaki depremlerin ortalama oluşum frekansından başka birşey değildir. Bu nedenle  $A_K$  değerlerini harita durumuna getirerek bölgesel deprem etkinliği haritaları çizilebileceği gibi, yukarıda söylenilen fizik anlamından yararlanılarak

$$T_K = 1/A_K = 1/10^{\gamma K + \beta} \quad 3.10$$

bağıntısı yardımıyla, istenen enerji sınıfı için, ortalama oluşum peryotlarını saptamak ve bu değerleri gösteren haritalar yapma olanağı da vardır.

### b) Kabuk Kalınlığının Saptanmasında Kullanılan Yöntem

Moho süreksizlik sınırını saptamak için çok iyi bilinen SinX/X yöntemi uygulanmıştır. Bu yöntem, süreksizlik sınırındaki dalgalanmaların, manto ile kabuk arasındaki yoğunluk farkı nedeniyle, yeryüzündeki anomalileri oluşturduğu varsayıma dayanır (Tsuboi, 1958).

Ölçülen gravite anomali değerleri

$$\Delta g(x) = b \frac{\sin x}{x} = b \int_0^1 \cos mx dm \quad 3.11$$

biçiminde gösterilebilir (Tomoda ve Aki, 1955). b, X = 0 noktasındaki  $\Delta g$ 'nin değeridir. Potansiyel teoriden biliği üzere 3.11 bağıntısında tanımlanan anomaliyi oluşturan kütle

$$M(x) = \frac{b}{2\pi G} \int_0^1 \cos mx e^{md} dm \quad 3.12$$

veya

$$M(x) = \frac{b}{2\pi G} \frac{1}{x^2 + d^2} \{e^d (d \cos x + x \sin x) - d\} \quad 3.13$$

dir.

Burada G gravitasyon katsayısı, d ise kürenin üzerinde sıkıştırılarak yüzey yoğunluğu ile tanımlanabilecek duruma getirildiği yuzeyin derinliğidir.

İki boyutlu durumda yüzey yoğunluğu

$$\Delta \sigma = \frac{1}{2\pi G} \sum_i \Delta g_i \cdot \phi_i \quad 3.14$$

olarak yazılabilir. Grid aralığı  $\pi$  olarak seçildiği zaman X ve d radyandır. Grid aralığı a'yı ve d'yi kilometre olarak alırsak

$$\phi_i = \frac{(d/a)}{\pi \{(d/a)^2 + i^2\}} \{(-1)^i e^{a\pi/a} - 1\} \quad 3.15$$

biçiminde gösterilebilir. Diğer taraftan  $\Delta \rho$ , manto-kabuk arasındaki yoğunluk farkı; h, d derinliğinden olan dalgalanma ise, yüzey yoğunluğu

$$\Delta\sigma_i = \Delta\rho \cdot h_i = \{\Phi_0 \Delta g_i + \Phi_1 (\Delta g_{i-1} + \Delta g_{i+1}) + \Phi_2 (\Delta g_{i-2} + \Delta g_{i+2}) + \dots + \Phi_n (\Delta g_{i-n} + \Delta g_{i+n})\}$$

$$\frac{1}{2\pi G}$$
3.16

olur ve  $i$  grid noktasında ortalama  $d$  derinliğinden olan sapma

$$h_i = \frac{1}{2\pi G \Delta \rho} \{ \Phi_0 \Delta g_i + \Phi_1 (\Delta g_{i-1} + \Delta g_{i+1}) + \dots + \Phi_2 (\Delta g_{i-2} + \Delta g_{i+2}) + \dots + \Phi_n (\Delta g_{i-n} + \Delta g_{i+n}) \}$$
3.17

bağıntısı kullanılarak kolayca saptanır. Bu yöntemden uygulanabilmesi için  $\Delta g_i$ , Bouguer anomali değerlerini,  $\Delta\rho$ , manto-kabuk yoğunluk farkını ve  $d$ , moho süreksizliğinin ortalama derinliğini bilmek gereklidir.

#### 4. UYGULAMA

##### a) Deprem Etkinliğinin Saptanması

İlk olarak,  $34^{\circ}$ -  $43^{\circ}$  N enlemleri ile  $25^{\circ}$ -  $45^{\circ}$ E boylamları arasındaki bölge,  $0.5 \times 0.5$  derecelik, 720 birim alana bölünmüş ve her birim alanda, 73 yılda oluşan depremlerin enerjileri, 3.2 ve 3.3 bağıntıları yardımıyla saptanarak toplanmıştır. Böylece açığa çıkan toplam deprem enerjisi bulunmuştur. Bu değerler,

$T = 73$  yıl'a bölünerek, her birim alan için, yıllık ortalama enerji akısı saptanmıştır. Bu işlem için kullanılan bilgisayar programı Ek. I.a'da verilmiştir.

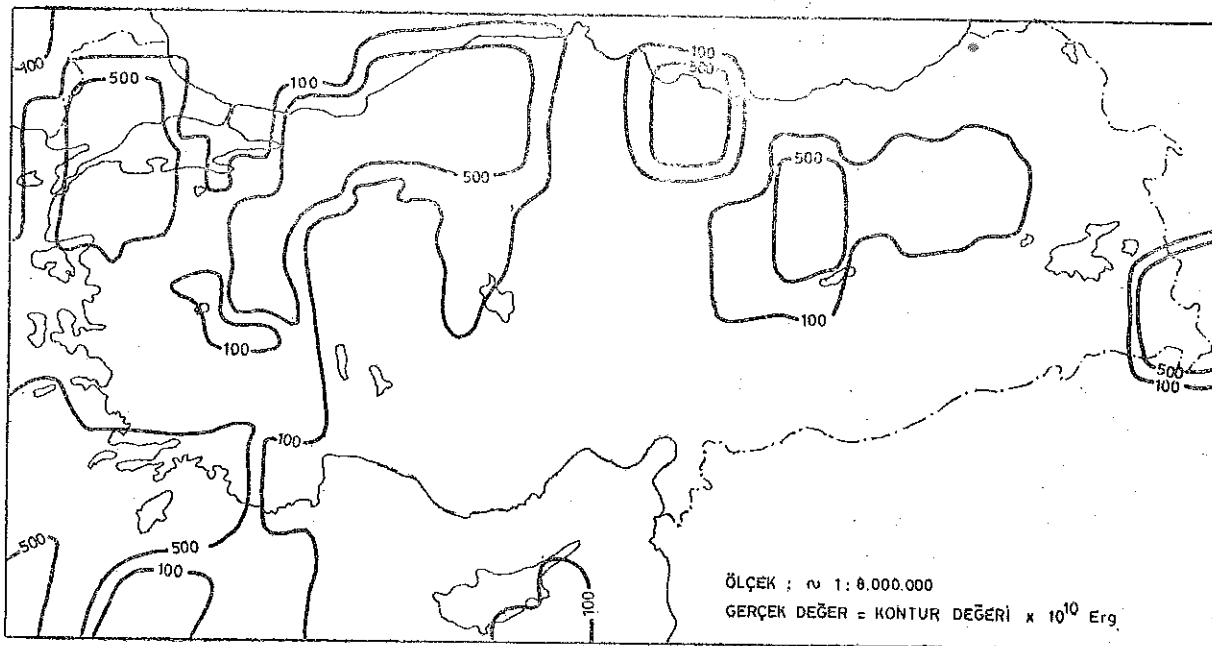
Elde edilen değerlerden yararlanılarak çizilen harita Şekil 1'de görülmektedir. Toplam enerjiler saptanırken sadece büyük depremler değil, bütün depremler kullanılmıştır.

Yine aynı bölgenin genel deprem etkinliğini saptamak için, Ek. I. b'de verilen bilgisayar programı uygulanarak aşağıda Tablo I'de verilen değerler bulunmuştur.

TABLO 1

$K_i$	$N_i$	$\bar{N}_i = \log (N_i/T)$
11	656	0.954
12	590	0.908
13	421	0.761
14	119	0.212
15	33	— 0.345
16	17	— 0.633
17	1	— 1.863

Bu tabloda  $K_i$ , enerji sınıfı ;  $N_i$ , her enerji sınıfındaki şok sayısı;  $\bar{N}_i$  ise yıllık ortalama



SEKİL 1. Yıllık Ortalama Enerji Akısı Haritası

$x_i$	$y_i$	$(x_i - \bar{x})$	$(Y_i - \bar{y})$	$(x_i - \bar{x})^2$	$(x_i - \bar{x})(y_i - \bar{y})$
11	0.954	-3	0.953	9	-2.859
12	0.908	-2	0.907	4	-1.814
13	0.761	-1	0.760	1	-0.760
14	0.212	0	0.211	0	0.000
15	-0.345	1	-0.346	1	-0.346
16	-0.633	2	-0.634	4	-1.268
17	-1.863	3	-1.864	9	-5.592

$$\bar{x} = \Sigma x_i / N = 14$$

$$\Sigma (x_i - \bar{x})^2 = 28$$

$$\bar{y} = \Sigma y_i / N = -0.000857$$

ve

$$\Sigma (\bar{x}_i - \bar{x})(y_i - \bar{y}) = -12.639$$

bulunur.

oluşum sayısının logaritmasıdır.  $K_i$  yatak ekseni ( $X$ ),  $N_i$  düşey eksen ( $y$ ) olarak alınacağına göre en küçük kareler yöntemi şöyle uygulanır.

$$\gamma = \Sigma (x_i - \bar{x})(y_i - \bar{y}) / \Sigma (x_i - \bar{x})^2 \text{ olduğundan}$$

$$\gamma = -0.45 \text{ ve } \beta = \bar{y} - \bar{x}\gamma \text{ dan yararlanarak}$$

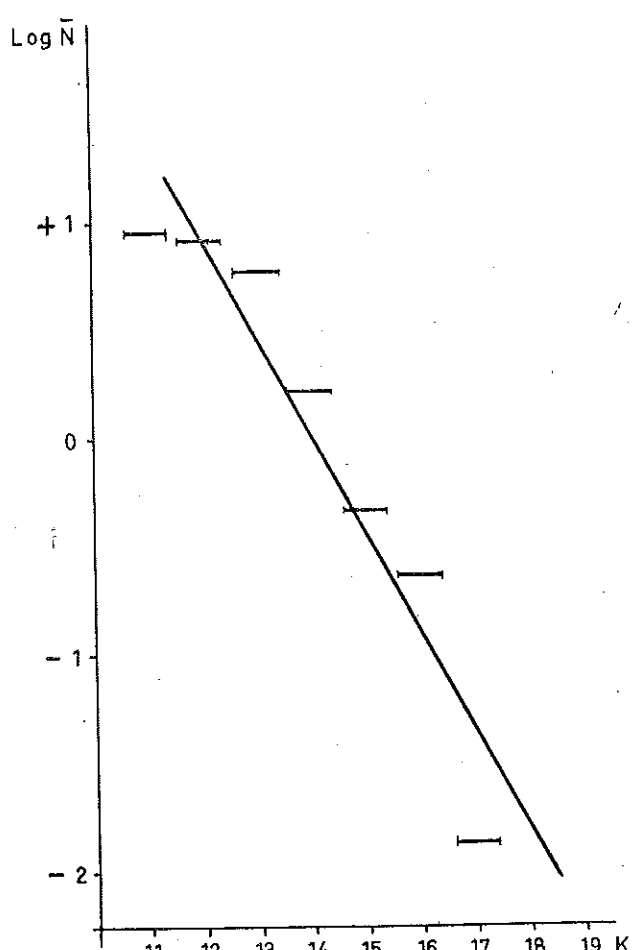
$$\beta = 6.294$$

saptanır. Bu sonuç, benzer araştırmalarda bulunanlarla uygunluk göstermektedir. Böylece en uygun doğru denklemi :

$$\log N = -0.45 K + 6.294 \quad 4.1$$

olarak bulunmuş olur. Ayrintılarını verdiği miz bu yöntemin uygulanmasında Ek. I. c' deki bilgisayar programı kullanılmıştır. Tablo 1'deki değerler kullanılarak saptanan en uygun doğrunun grafiği, Şekil 2'de görülmektedir. Küçük enerji sınırlarındaki sapmanın nedeni, ülkemizde yeterli sayıda istasyon olmadığından, küçük şokların ya hiç kaydedilmemiş olması veya kaydedilse bile büyülüklüklerinin saptanmamış olmasıdır.

Daha sonra, birim alanlarda  $\gamma$ ,  $\beta$  ve  $A_K$ 'nın özgül değerlerini incelemek amacıyla, bütün alan  $0.5 \times 0.5$  derecelik bölgelere ayrılmış, ancak, birkaç bölge dışında, en küçük kareler yöntemini uygulamaya yetecek sayıda deprem olmadığı görülmüştür. Bu nedenle, birim bölgelerin boyutları büyütülerek aynı işlemler yinelenmiş, sırasıyla  $1 \times 1$ ,  $1.5 \times 1.5$  ve  $2 \times 2$  derecelik birim bölgelerin uygunluğu denenmiştir. Görülmüştür ki  $2 \times 2$  derece gibi ayrintının kaybolmasına neden olan boyutlardaki



ŞEKİL . 2

Fiziksel olarak bir yanılığa düşmeden, bu sorunu çözümlemek amacıyla yapılan araştırmalar sonucunda (Riznichenko, özel konuþma 1974), birim bölgelerden birinde oluşan bir depremin, komþu birim bölgelerdeki yapılarla etkisini de göz önüne almanın yararlı olacaðı kanısına varılmıştır. Bu nedenle, bir depremin, uzaklığı baþlı olarak, enerjisini

$10^{15}$  erg'e düşünceye kadar, diğer bölgelerde ne değer aldığı saptanmış ve bu bölgelerde yapıların, saptanan enerjiye eşdeger büyüklikte bir depremden etkilendikleri varsayılmıştır. Enerjinin uzaklıklara değişimi, aşağıdaki baþıntı yardımıyla saptanmıştır (Ullmann-Maaz, 1966).

$$E_i = E_i \frac{1}{4\pi R^2 h_i^2} \exp \left\{ -\left( \frac{1}{h_i/R} \sin \frac{\Delta_i/R}{2} \right)^2 \right\} \quad 4.2$$

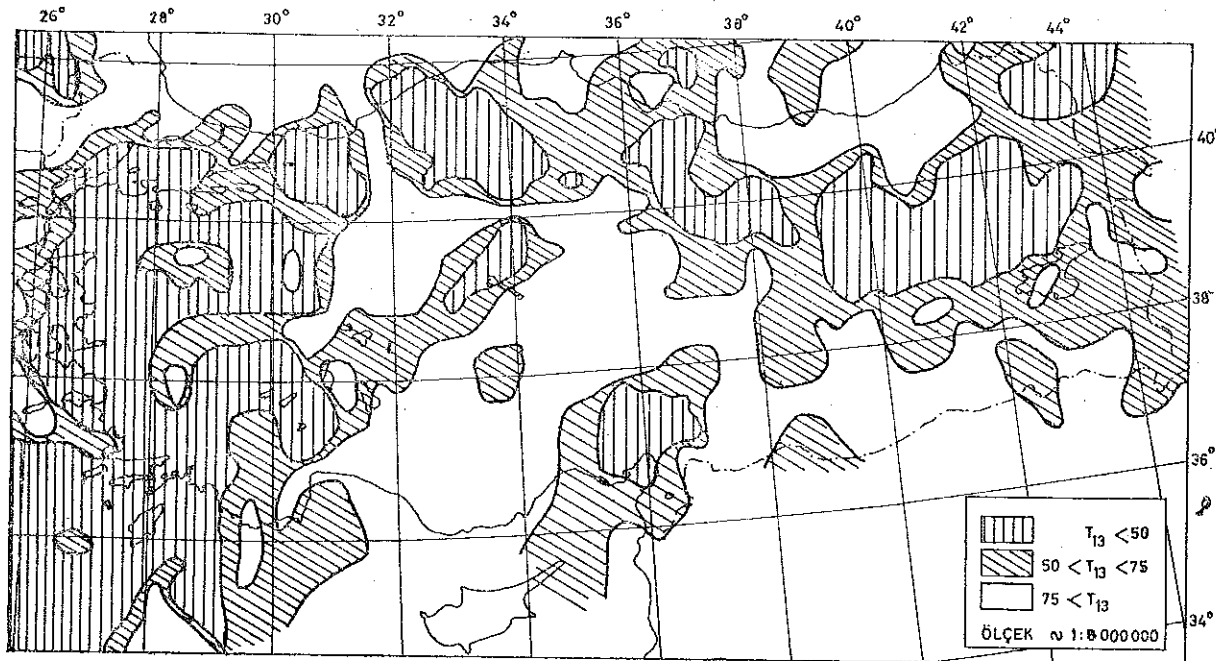
Burada  $E_i$ ,  $i$ 'inci depremin toplam enerjisi;  $h_i$ , içmerkezin derinliği;  $\Delta_i$ , dışmerkezine olan uzaklıktır.  $R$  ise yer yarı çapıdır.

Daha önce kullanılan bilgisayar programında (Ek. 1. b) gerekli değişiklikler yapılarak, 4.2 baþıntısı işleme sokulmuş ve birim bölge boyutları  $0.3 \times 0.3$  derece olarak seçilmiştir (Ek. 1. d).

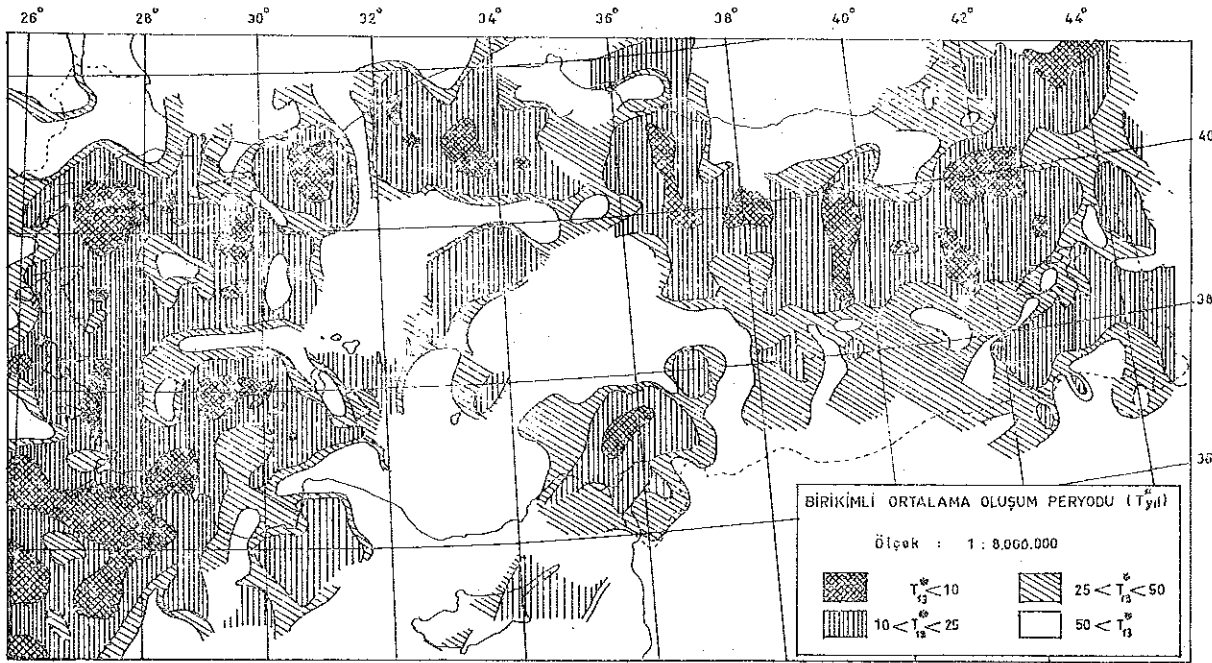
Sonuçta, bilgisayardan, birim bölgeler

icin saptanan enerji sınıfları  $K_i$  ve her enerji sınıfındaki yıllık ortalama deprem sayılarının ( $N_i$ 'ler) logaritması alınarak kartlara işlenmiştir.  $\gamma$  ve  $\beta$ 'nın genel değerinin saptanmasında ayrıntılarını verdiğimiz yöntem, her birim alan için uygulanarak  $\gamma$  ve  $\beta$ 'nın 1980 (birim alan sayısı) tane özgül değerleri saptanmıştır.

Önceden de belirtildiği gibi  $\gamma$  ve  $\beta$  değerleri, yer'e baþlı olarak değişmektedirler. Başka bir deyiþle, bu değerler bölgenin tektonik ve fizik özelliklerine baþlı olmaktadır.  $\gamma$  ve  $\beta$ 'dan yararlanılarak, istenen enerji sınıfındaki deprem etkinliği 3.8 ve 3.9 baþıntıları kullanılarak saptanabilir. Bu çalışmada,  $K = 13$  için, her birim bölgedeki  $A_{13}$  değerleri bulunmuştur.  $\gamma$  ve  $\beta$ 'nın özgül değerleri ile  $A_{13}$  değerlerinin saptanmasında, yine Ek. 1. e'de verilen programdan yararlanılmıştır.  $K = 13$  seçilmesinin nedeni, bu enerji sınıfına eşdeger olan deprem büyüklüğünün 5.5 dolaylarında olusudur. Bulunan  $A_K$  değerleri, fiziksel anlam bakımından, ait oldukları bölgelerde,  $K$  enerji sınıfındaki depremlerin ortalama oluşum frekansını gösterdiginden, aynı bölgeler için ortalama oluşum peryodu  $T_{13}$  saptanmış ve bu değerler harita haline getirilmiştir (Şekil 3).



ŞEKİL .3 – Ortalama Oluþum Peryodu (  $T = \text{yıl}$  ) Haritası



ŞEKİL. 4 – Birikimli Ortalama Oluşum Peryodu Haritası

$A_K$  ve  $T_K$  değerlerinin fizik anımlarının biraz daha belirlenmesi gerekmektedir. Şöyle ki, her iki değerde yalnızca ait oldukları  $K$  enerji sınıfındaki depremlerin etkinliğinin bir ölçüsü olmaktadır. Bir yapı planlayıcısı için seçilen  $K$  enerji sınıfından daha büyük depremelerin etkinliklerini de kapsayan bir büyülüğe gereksinim vardır. Bu nedenle, en küçük kareler yöntemi uygulanmadan önce enerji sınıflarındaki şok sayıları büyükten küçüğe doğru toplanmıştır (Kümülatif toplam - Birikimli Toplam). Örneğin, ele alınan bölgede, enerji sınıfları :

$$K_{i-3}, K_{i-2}, K_{i-1}, K_i, K_{i+1}, K_{i+2}, K_{i+3}$$

ve bu sınıflardaki deprem sayıları da sırasıyla:

$$N_{i-3}, N_{i-2}, N_{i-1}, N, N_{i+1}, N_{i+2}, N_{i+3}$$

olsun. Yapacağımız birikimli toplam sonucu eksenlere işaretleyeceğimiz değerler aşağıdaki gibi olacaktır.

Y	X
$K_{i+3}$	$\log (N_{i+3}/T)$
$K_{i+2}$	$\log [(N_{i+3} + N_{i+2})/T]$
.	.
.	.
$K_{i-3}$	$\log [(N_{i+3} + N_{i+2} + \dots + N_{i-3})/T]$

Bu değerlere en küçük kareler yöntemini uygulayarak saptayacağımız  $A^*_K$  ve  $T^*_K$  değerleri, yalnız istenen  $K$  sınıfındaki depremleri değil,  $K$  ve daha büyük depremlerin ortalama oluşum frekansı ve ortalama oluşum peryodu olacaklardır.  $T^*_K$  değerlerini saptayabilmek için Ek. 1. d programından alınan 1980 tane,  $0.3 \times 0.3$  derecelik birim bölgelere ait sonuçlara Ek 1. e'deki program uygulanmıştır. Böylece, her birim bölge için saptanan  $T^*_{13}$  değerlerinin haritası Şekil 4'de görülmektedir.

#### b) Kabuk Kalınlığının Saptanması

Moho süreksızlık sınırını saptarken Bouguer anomali değerleri, W-E doğrultulu profiler boyunca okunmuş ve kayan ortalama yöntemi, bilgisayar yardımıyla (Ek. II. a) uygulanarak düzgünleştirilmiştir. Düzgünleştirme dalga boyu 30 km'den daha küçük olan değişimleri gidermek amacıyla uygulanmıştır.

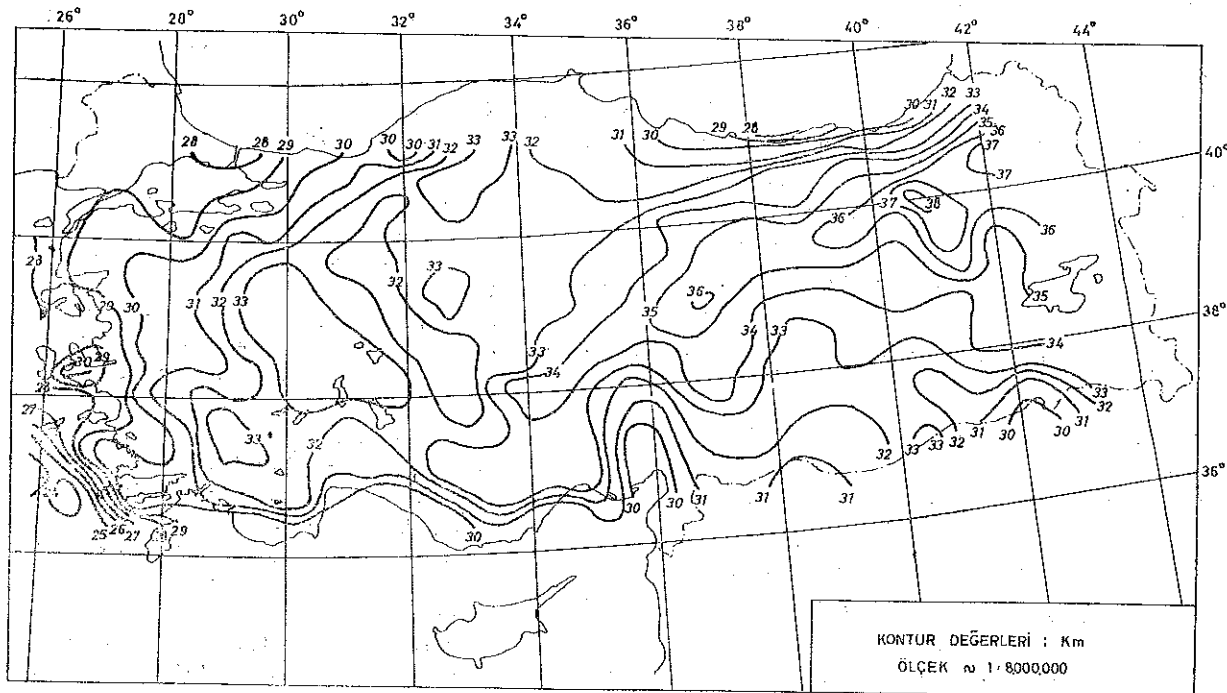
Hesaplamalarda, manto ile kabuk arasındaki yoğunluk farkı  $\Delta\rho = 0.63 \text{ gr/cm}^3$ , ortalama derinlik  $d = 30 \text{ km}$  ve grid noktaları arasındaki uzaklık  $a = 60 \text{ km}$  olarak alınmıştır. Bu durumlarda  $d/a = 0.5$  oranı için  $\Phi_i$  katsayıları, 3.15 bağıntısı kullanılarak, bilgisayarla (Ek. II. b), yeniden saptanmıştır.  $\Phi_i$  katsayıları, Tablo II'de görülmektedir.

TABLO 2

i	$\Phi_i$
0	2.42678
$\pm 1$	-0.73990
$\pm 2$	0.14275
$\pm 3$	-0.09999
$\pm 4$	0.03734
$\pm 5$	-0.03663
$\pm 6$	0.01674
$\pm 7$	-0.01878

Yöntem uygulanırken ilk olarak 15 kat-sayı ile işlem yapılmış ve bunun sonucu olarak, her profil boyunca, kabuk kalınlığının sap-

tandığı ilk ve son noktalar, profiline uçağın dan itibaren 420 km içinde kalmıştır. Bu sakincayı gidermek amacıyla, katsayılar uçlardan adım adım azaltılarak, kabuk kalınlıkları, bilgisayarla (Ek. II c), birkaç kez yeniden saptanmıştır. Sonuçta 7 katsayı kullanmanın yeterli olduğuna karar verilmiştir. Bu durumda yapılan hata 0.1 km'nin altında kalmaktadır. Böylece, her profil boyunca, gridin yarı uzunluğundan dolayı, kabuk kalınlığındaki değişimin saptandığı ilk nokta, profiline başlangıç noktasından 180 km içinde yer almıştır. 3.17 bağıntıcı yardımıyla saptanan değişimler, ortalaması derinlikle toplanarak bulunan moho süreksizlik sınırlına ait değerler, harita durumuna getirilmiştir (Şekil 5).



SEKİL. 5 - Moho Süreksizlik Haritası

## 5. SONUÇLAR

Deprem bölgelerini tüm ayrıntılarıyla belirleyebilmek için gerekli bilgileri jeolojik ve sismolojik veriler olarak iki kümeye toplamak olanaklıdır. Sismolojik verilerin başlıcaları; episentr, gözlenen en büyük şiddet, deprem etkinliği, moho süreksizlik ve enerji akışı haritaları ile fay düzlemi çözümleri ve de eğim değişimleridir. Jeolojik veriler ise tektonik, jeolojik haritalar ile volkanizmadır.

Türkiye'nin episandr haritası ile, kısmen de olsa, fay düzlemi çözümleri yapıldığından bu çalışmanın dışında tutulmuşlardır. Gözlenen en büyük şiddet haritası ile eğim değişimleri ise veri yokluğundan hazırlanamamıştır

Deprem etkinliği haritalarını saptarken,  $0.3 \times 0.3$  derecelik birim alanları inceleyerek ortak özellik gösterenleri birleştirmenin daha geçerli bir yöntem olduğu açıkça görülmektedir. Ancak, deprem etkinliği saptanırken kul-

lanılan veriler, aletsel kayıtların çok yakın bir geçmişten başlamaları nedeniyle, yeterli bir gözlem süresini kapsamamaktadır. O halde, deprem bölgelerini saptarken, yukarıda belirtilen, bize yardımcı olabilecek, tüm bilgileri kullanılmamız gereklidir.

Depremler tektonik olaylar sonucu oluştuguna göre, bölgenin tektoniği; özellikle néo-tektonik, büyük önem kazanmaktadır. Tektonik haritalarla, deprem etkinliği haritalarını karşılaştırmak istediğimiz zaman şunu görmekteyiz ki, Türkiye'de tektonik hareketler konusunda araştırmacılar, bağıdaştırılması olanaksız, zıt düşünceler ileri sürmektedirler (KETİN, 1969; ARPAT VE ŞAROĞLU, 1975). Bu nedenle, bu çalışmada ancak, çizilen her iki deprem haritasının da bilinen büyük tektonik doğrultularla uyum gösterdiğini söylemeyeceğiz.

Moho süreksizlik haritası incelendiği zaman, beklenildiği gibi, kabuk kalınlığının denizlere doğru azaldığı, Doğu Anadolu'da başka bir deyişle kitasal bölgelere doğru, arttığı görülmektedir. Deprem etkinliği ile karşılaşlığımızda, aktif bölgelerin, kabuğun zayıf sayılan, inceldiği yerlerden çok, kalınlık değişiminin çabuk olduğu bölgelerle uyum gösterdiği söylenebilir.

Deprem kataloğu sorunundan, daha önce söz edilmişti. Şunu belirtmeliyiz ki, ilk defa yapılabileceği kadar yeterli duyarlılıkta bir katalog hazırlanmış (Alsan, Tezuçan and Bath, 1975), ancak tez yayına hazırlandığı sırada elimize geçtiğinden, bu çalışmada kullanılmıştır. Sadece, toplam yıllık deprem enerjileri, bu katalogdaki verilerden yararlanılarak saptanmış ve bu değerlere spektrum analizi uygulanmıştır (Jenkins and Watt, 1968). Analiz sonucu, 4.40 ve 11.11 senelik peryodların etkinliği görülmüşse de bu konunun, ayrıca araştırılmasının uygun olacağı kanısındayız.

### TEŞEKKÜR

Bu tezin hazırlanmasına olanak sağlayan yönetici Sayın Prof. Dr. İ. ÖZDOĞAN'a, karşılaşılan sorunların çözümlenmesinde bana yol gösteren Sayın Doç. Dr. H. SOYSAL'a, kıymetli yardım ve eleştiri lerinden dolayı Doç. Dr. Y. İSPİR, Dr. T. BULAT

ve diğer bütün kursu elemanlarına teşekkürü bir borç bilirim.

Ayrıca, değerli fikirlerinden yararlandığım Kandilli Rasathanesi Sismoloji Bölümü Şefi B. ÜÇER'e ve hesapların yapılmasına olanak sağlayan İ.Ü. Bilgi İşlem Merkezi ilgililerine de teşekkür ederim.

### YARARLANILAN KAYNAKLAR

- ALPTEKİN, Ö., (1973) Dissertation, Faculty of New Mexico
- AMBRASEYS, N. N., ZATOPEK, A., (1967) (A field report) UNESCO, PARİS.
- ARPAT, E., ŞAROĞLU, F., (1975) TJK Bülteni, 7, 91 (1952) Transact. Am. Geophy. Union, 33, 81 (1953)
- BATH, M., Gerl. Beitr. Z. Geophys., 63, 173 (1956)
- Bull. Seism. Soc. Am., 46, 217 (1960)
- Progress Report, UGGI Monograph No. 1
- BENIOFF, H., (1949) Bull. Geol. Soc. Am., 60, 1837 (1951).
- Bull. Geol. Soc. Am., 66, 385 (1955)
- Bull. Seism. Soc. Am. 45, 31
- BUNE, V. I., (1956) Report Acad. Sci. Tadzh. SSR. No. 19
- BUTOVSKAYA, E. M., KUZNETSOVA, K. I., (1971) Bull. (Izv.) Acad. Sci. USSR, 2, 86
- BYERLY, P., (1942) Seismology, Prentice Hall, New York
- CONSTANTINESCU, L., ENESCU, D., (1965) Bull. (Izv.) Acad. Sci. USSR, 2, 159
- ERGIN, V., GÜCLÜ, U., UZ, Z., (1967) İ.T.Ü. Arz Fiziği Enstitüsü Yayınları No. 24
- GUTENBERG, B., (1932) Handbuch der Geophysik, 4
- GUTENBERG, B., RICHTER, C.F., (1941, 1952, 1954) Seismicity of the Earth, Princeton Univ. Press (1942)
- Bull. Seism. Soc. Am., 32, 163 (1956)
- Annali di Geofisica, 9, 1
- İPEK, M., UZ, Z., GÜCLÜ, U., (1965) Sismolojik donelere göre Türkiye'de deprem bölgeleri, Ankara
- JJENKINS, G. M., WATTS, D.G., (1968) Holden-Day, Inc. America
- KARNIK, V., (1970) Seismicity of European I, II, D. Reidel Pub.

- KETİN, İ., (1969)  
MTA Dergisi No. 72
- KOLÇAK, D., (1975)  
Lisanüstü Tezi, İ.U.F.F. Jeofizik  
Kürsüsü
- OMOTE, S., İPEK, M., (1959)  
The Seismicity in Turkey, İ.T.Ü.
- ÖAL, N., (1962)  
The Seismicity of Turkey, Meeting  
of C.S.E. Jena
- RIZNICHENKO, Yu. V., (1958)  
Bull. (Izv.), Accad. Sci. USSR, 9, 615
- , (1959)  
Annali di Geofisica, 2, 227
- , (1966)  
Bull. (Izv.) Acad. Sci. USSR, 2, 73
- , (1958)  
Bull. (Izv.) Acad. Sci. USSR, 2, 409
- RIZNICHENKO, Yu. V., NERSESOV, I. L., (1961)  
Annali di Geofisica, 2, 15
- SAVAREN SKY, E.F., (1967)  
Symp. "Building in Seismic Regions"
- SIEBERG, A., (1904)  
Erdbebenkunde
- SPONHEUER, W., (1953)  
Freiberger Forschungsh. H.C.
- St. AMAND, P., (1954)  
Bull. Seism. Soc. Am. 46, 41
- TABBAN, A., (1970)  
I.I.S.E.E. Tokyo, 6, 59
- TABBAN, A., GENÇOĞLU, S., (1973)  
T.C. İm. İsk. Bk., Deprem Ara. Enst.,  
Ankara
- TOMODA, Y., AKI, K., (1955)  
Proc. Japon. Acad. 31, 443
- TOPERCZER, M., (1953)  
Geophy. und Bicklimatol, 5, 4
- TRAPP, E., (1954)  
Gerl. Beitr. Geophy. 64, 2
- TSKHAKAYA, D. A., (1965)  
Bull. (Izv.) Acad. Sci. USSR, 8, 511
- TSUBOI, C., (1938)  
Proc. Imp. Acad. 14, 170
- , (1939)  
Bull. Earthq. Res. Inst. 17, 351
- , (1964)  
J. Phys. Earth., 12, 25
- , (1959)  
J. of Phys. Earth., 2, 6
- TSUBOI, C., TOMODA, Y., (1958)  
J. Phys. Earth., 6, 1
- UTSU, T., (1961)  
Geophy. Mag., Japan Meteor. Ag. 30,  
251
- ZATOPEK, A., (1969)  
I.I.S.E.E. Lecture Notes No. 6

# E K L E R

## E K. I. a

C ENERGY FLUX  
C .....  
C M=NUMBEF OF DATA  
C DOEN, UPEN=LOWER AND UPPER  
C LIMIT OF LATITUDE  
C DOBY, UPBY=LOWER AND UPPER  
C LIMIT OF LONGITUDE  
C DLT=DIMENSION, OF AREA  
C NC=NUMBER OF COLUM  
C NA=NUMBER OF AREA  
C TY=NUMBER OF YEAR  
C .....  
C DIMENSION ENL(2000), BYL(2000),  
C BM (2000), XTOP (800), XFL (800),  
C DOBY (1), IUPBY (1), DOEN (1),  
C UPEN (1).  
C READ (1,100) M, DOBY, UPBY, DOEN  
C UPEN, DLT, NC, NA, TY  
100 FORMAT (15, 4 (2X, F4. 1), 2X, F3. 1,  
2X, I2, 2X, I3, 2X, F3. 0)  
DO 11 K=1, NA  
XTOP (K) = 0.  
11 XFL (K) = 0.  
L = 0  
DO 99 1 = 1 M  
L = L + 1  
READ (1,101) ENL (I), BYL (I), BM  
(I)  
101 FORMAT (32X, F4. 1, 2X, F4. 1, 10X,  
F4. 1)  
EKEN = DOEN (1)  
EBEN = UPEN (1)  
EKBY = DOBY (1)  
EBBY = UPBY (1)  
IF (ENL (I), LT. EKEN) GO TO 99  
IF (ENL (I), GT. EBEN) GO TO 99  
IF (BYL (I), LT. EKBY) GO TO 99  
IF (BYL (I), GT. EBBY) GO TO 99

K = 1  
12 IF (ENL (I), GE. EKEN, AND. ENL  
(I), LT. (EKEN+DLT) GO TO 13  
EKEN = EKEN+DLT  
K=K+NC  
GO TO 12  
13 IF (BYL (I), GE. EKBY, AND. BYL  
(I) LT. (EKBY+DLT) GO TO 88  
EKBY=EKBY+DLT  
K=K+1  
GO TO 13  
88 XLG=0.  
IF (L.GT. 1157) GO TO 77  
XLG=5.24+1.44\* BM (I)  
GO TO 66  
77 XLG=-1.22+.48\* BM (I)  
66 XEN=10\*\* XLG  
XTOP (K) = XTOP (K) + XEN  
99 CONTINUE  
WRITE (3,200)  
200 FORMAT (//5X'ENERGY FLUX PER  
YEAR'//7X' K '10X,'ENERGY FLUX'  
/7X,3 (1H\*), 10X, 11 (1H\*) )  
DO 30 K = 1, NA  
IF (XTOP (K), EQ.O.) GO TO 30  
XFL (K) = XTOP (K) /TY  
30 WRITE (3,201) K, XFL (K)  
201 FORMAT (7X, I3, 10X, E 15.8)  
STOP  
END

## E K. I. b

MAYA  
C TO FIND YEARLY NUMBER OF  
EARTHQUAKES IN EACH K CLASS  
DIMENSION ENL (2000), BYL (2000)  
BM (2000), B (100), A (100)  
READ (1, 100) M  
100 FORMAT (I5)

DO 10 J=9,18  
 B (J) = 0.  
 10 CONTINUE  
 L = 0  
 DO 20 I = 1, M  
 READ (1,110) ENL (I), BYL (I), BM (I)  
 110 FORMAT(32X, F4. 1,2X, F4. 1,11X, F3 1)  
 XLG = 0.  
 L=L+1  
 IF (L.GT.1157) GO TO 77  
 XLG=5.24+1.44\* BM (I).  
 GO TO 66  
 77 XLG=-1.2+2.48\* BM (I)  
 66 IF (XLG.LE. 9.4) GO TO 25

IF (XLG.LE.10.4.AND.XLG.GT.9.4) B(10)=B(10)+1.  
 IF (XLG.LE.11.4.AND.XLG.GT.10.4) B(11)=B(11)+1.  
 IF (XLG.LE.12.4.AND.XLG.GT.11.4) B(12)=B(12)+1.  
 IF (XLG.LE.13.4.AND.XLG.GT.12.4) B(13)=B(13)+1.  
 IF (XLG.LE.14.4.AND.XLG.GT.13.4) B(14)=B(14)+1.  
 IF (XLG.LE.15.4.AND.XLG.GT.14.4) B(15)=B(15)+1.  
 IF (XLG.LE.16.4.AND.XLG.GT.15.4) B(16)=B(16)+1.  
 IF (XLG.LE.17.4.AND.XLG.GT.16.4) B(17)=B(17)+1.  
 IF (XLG..LE.17.4) GO TO 26

GO TO 20  
 25 B(9)=B(9)+1.  
 GO TO 20  
 26 B(18)=B(18)+1.  
 20 CONTINUE  
 TY=73.  
 DO 30 J=9,18  
 IF (J.EQ.9) WRITE (3,200)  
 IF (B (J).EQ.0.) GO TO 30  
 A (J) = ALOG 10 (B (J)) - ALOG10 (TY)  
 WRITE (2,201) J, B (J), A (J)  
 30 WRITE (3,201) J, B (J), A (J)

200 FORMAT (//20X, 'ENERJİ SINIFI',  
 5X, 'TOPLAM DEPREM SAYISI', 5X,  
 'LOG YILLIK DEPREM SAYISI',  
 /20X, 13 (1H\*), 5X, 20 (1H\*), 5X, 24  
 (1H\*))  
 201 FORMAT (25X, I2, 12X, F6.0,23X, F7.  
 3)  
 STOP.  
 END

EK. I. c

C LE SQ SU CHIME  
 C .....  
 30 DIMENSION X (100), Y (100)  
 READ (1,111) N  
 111 FORMAT (I2)  
 IF (N.EQ.0) GO TO 55  
 DO 12 I=1, N  
 X(I)=0.  
 Y(I)=0.  
 12 CONTINUE  
 A=0.  
 B=0.  
 EKMX=0.  
 T 12=0.

T 13=0.  
 T 14=0.  
 READ (1,211) (IA, JA, X (I), Y (I),  
 I=1, N)  
 211 FORMAT (I2,2X,I2,5X, F3.0,10X,  
 F8.5)  
 XSU=0.  
 YSU=0.  
 DO 10I=1, N  
 XSU=XSU+X(I)  
 10 YSU=YSU+Y(I)  
 FN=FLOAT (N)  
 XBAR=XSU/FN  
 YBAR=YSU/FN  
 SXY=0.  
 SXX=0.  
 DO 20 I=1, N  
 SXY=SXY+(X(I)-XBAR)\*(Y(I)  
 -YBAR)  
 20 SXX=SXX+(X(I)-XBAR)\*\*2  
 A=SXY/SXX  
 B=YBAR-XBAR\*A

```

C      CALCULATION OF RETURN
      PERIODS
      EKMX=-B/A
      FL12=12.*A+B
      FL13=13.*A+B
      FL14=14.*A+B
      F12=10.**FL12
      F13=10.**FL13
      F14=10.**FL14
      T12=1./F12
      T13=1./F13
      T14=1./F14
      WRITE (3,311) IA, JA, A, B, EKMX
      T12, T13, T14
311  FORMAT(2(2X,12),2(5X,F9.3),10X,
      F5.2,10X,3(5X,F12.4))
      GOTO 30
55   CONTINUE
      STOP
      END

      EK. I. d

C      OKASAN
C      RELATIVE INCREASE OF NUMBER
C      OF EARTHQUAKES
C      EMIN    MINIMUM LATITUDE
C      EMAX    MAXIMUM LATITUDE
C      BMIN    MINIMUM LONGITUDE
C      BMAX    MAXIMUM LONGITUDE
C      DEB     SIZE OF UNIT AREA
C      ENL     LATITUDE OF EPICEN-
C              TER
C      BYL     LONGITUDE OF EPICEN-
C              TER
C      EM      MAGNITUDE
C      H       DEPTH OF FOCUS
C      TY      OBSERVATION INTER-
C              VAL
      DIMENSION E(31,68,18), A(31,68,
      18)
      DATA E/37944*0./
      DATA A/37944*0./
      READ 100, EMIN, EMAX, BMIN,
      BMAX, DEB
100  FORMAT (4(2X,F4.1), 5X, F3.1)
      B1=BMIN-DEB
      B2=BMAX+DEB

      R=6370.
      PI=3.1415926
      P4=PI*4.
      CC=PI/180.
      Z=1./DEB
      TA=(EMAX-EMIN)/DEB
      JA=(BMAX-BMIN)/DEB
      IKAR=0
      DEBY=0.5*DEB
11   READ 200, ENL, BYL, EM, LAST
200  FORMAT (32X, F4.1,2X,F4.11X,
      F3.1,23X,I1)
      IF(LAST) 90, 80, 90
80   EN=ENL
      BO=BYL
      IF (EMAX-EN) 11, 12, 12
12   IF (EN-EMIN) 11, 13, 13
13   IF (BMAX-BO) 11, 14, 14
14   IF (BO-BMIN) 11, 15, 15
15   H=10.
      TY=73.
      IKAR=IKAR+1.
      IF(IKAR.GT.1157) GO TO 28
      US=12.24+1.44*EM
      GO TO 18
28   US=5.78+2.48*EM
18   DE=10.**US
      EC=DE
      IF(EC-1. E15) 11, 11, 29
29   ELX=ALOG(1.E-15*EC)
      EL=2.*H*SQRT (ELX)
      EQ=111.111*DEB*COS(EN*CC)
      N=EL/EQ
      I1=(EN-EMIN)/DEB+1.
      J1=(BO-BMIN)/DEB+1.
      IB=I1-N
      IS=I1+N
      JB=J1-N
      JS=J1+N
      IF (IB) 19, 19, 20
19   IB=1
20   IF (JB) 21, 21, 22
21   JB=1
22   IF (IS-IA) 24, 24, 23
23   IS=IA
24   IF(JS-JA) 26, 26, 25
25   JS=JA
26   AC2=EN*CC

```

```

S2=SIN (AC2)
C2=COS (AC2)
TD=1./H
DO 60 I=IB, IS
XX=2*I-1
XX=XX*DEBY
AC1= (EMIN+XX) *C
S1=SIN (AC1)
C1=COS (AC1)
DO 60 J=JB, JS
XX=2*J-1
XX=XX*DEBY
ACY=BMIN+XX
TET=ABS (ACY-BO)**CC
CT=1.—0.5*TET*TET
SF2=SQRT(0.5*(1.—S1*S2—C1*C2*
CT))
FI=SF2*(2.+0.333333*SF2*SF2)
DEL=FI*R
X=DEL*TD
EXT=EXP (-0.20*X*X)
XLE=ALOG10 (EXT*EC)
XLG=XLE-7.
IF(XLG.LE.9.4) GO TO 35
IF(XLG.LE.10.4.AND.XLG.GT.9.4)
    E(I,J,10)=E(I,J,10)+1.
IF(XLG.LE.11.4.AND.XLG.GT.10.4)
    E(I,J,11)=E(I,J,11)+1.
IF(XLG.LE.12.4.AND.XLG.GT.11.4)
    E(I,J,12)=E(I,J,12)+1.
IF(XLG.LE.13.4.AND.XLG.GT.12.4)
    E(I,J,13)=E(I,J,13)+1.
IF(XLG.LE.14.4.AND.XLG.GT.13.4)
    E(I,J,14)=E(I,J,14)+1.
IF(XLG.LE.15.4.AND.XLG.GT.14.4)
    E(I,J,15)=E(I,J,15)+1.
IF(XLG.LE.16.4.AND.XLG.GT.15.4)
    E(I,J,16)=E(I,J,16)+1.
IF(XLG.LE.17.4.AND.XLG.GT.16.4)
    E(I,J,17)=E(I,J,17)+1.
IF(XLG.GT.17.4) GO TO 36
GO TO 60
35 E(I,J,9)=E(I,J,9)+1.
GO TO 60
36 E(I,J,18)=E(I,J,18)+1.
60 CONTINUE
GO TO 11
90 DO 30 I=1, IA
    DO 30 J=1, JA
        DO 30 K=9,18
            IF(E(I,J,K).EQ.0.) GO TO 69
            A(I,J,K)= ALOG10(E(I,J,K))-
                ALOG10(TY)
69 IF(K.EQ.9) WRITE (3,300)
300 FORMAT (/2X, 'BÖLGE NO' 8X,
    'ENERJİ SINIFI', 5X, 'TOPLAM
    DEPREM SAYISI 1', 5X, 'LOG YIL-
    LIK DEPREM SAYISI, /2X,8 (1H*),
    8X,13 (1H*),5X,20 (1H*),5X,24 (1H*))
30 PRINT 400, I,J,K,E (I,J,K),A (I,J,K)
400 FORMAT (3X, I2,2X,I2,14X,I2,17X,
    F6.0,20X,F9.5)
    STOP
    END

EK. I. e

LE. SQ.SU. INCHIKY
DIMENSION X(20), Y(20), FRL(20),
FRS(20), TCU(20)
30 READ (1,111) N
111 FORMAT (78X, I2)
    IF(N.EQ.0) GO TO 55
    DO 12 I=1, N
        X(I)=0.
12 Y(I)=0.
    A=0.
    B=0.
    AM=0.
    BN=0.
    EKMX=0.
    READ (1,211) (L,X(I), Y(I), I=1, N)
211 FORMAT (4X,I3,16X,F2.0,42X,F9.5)
    XSU=0.
    YSU=0.
    DO 10 I=1, N
        XSU=XSU+X(I)
10 YSU=YSU+Y(I)
    FN=FLOAT(N)
    XBAR=XSU/FN
    YBAR=YSU/FN
    SXY=0.
    SXX=0.
    DO 20 I=1,N
        SXY=SXY+(X(I)—XBAR)*(Y
        (I)—YBAR)
20 SXX=SXX+(X(I)—XBAR)**2
    A=SXY/SXX

```

```

C      B=YBAR—XBAR*A
      CUMULATIVE ACTIVITY FROM
      THEORETICAL NUMBERS OF
      SHOCKS
      DO 43 M=9,18
      FRS(M)=0.
      43 TCU(M)=0.
      DO 44 K=9, 18
      44 FRL(K)=0.
      DO 45 K=9,18
      FK=FLOAT (K)
      45 FRL(K)=10.*FRL(K)
      M=9
      25 CONTINUE
      DO 15 K=M, 18
      15 FRS(M)=FRS(M)+FRL(K)
      M=M+1
      IF(M.EQ.18) GO TO 35
      GO TO 25
      35 FRS (18)=FRL(18)
      DO 99 M=12,14
      99 TCU(M)=1./FRS(M)
      Y1=ALOG10(FRS(12))
      Y2=ALOG10(FRS(13))
      X1=12.
      X2=13.
      AM=(Y2—Y1)/(X2—X1)
      BN=Y2—AM*X2
      EKMX=—BN/AM
      WRITE (3,311) L,AM,BN, EKMX,
      TCU(12), TCU(13), TCU(14)
      311 FORMAT(6XI3,2(5X,F9,3),10X,
      F5.2,10X,3(5X,F12.4))
      GO TO 30
      55 CONTINUE
      STOP
      END

      EK. II. a

      MOVING AVERAGE YAYOI
      C      N=NUMBER OF DATA, M=AMO-
      UNT OF MOVING (AN EVEN NUM-
      BER)
      C
      C      DIMENSION X(1000)
      READ(1,201) M
      DO 12 IGR=1,23

      201 READ(1,201) N
      FORMAT (I2)
      FM=FLOAT (M)
      WRITE(3,301) FM
      301 FORMAT(5X,'AMOUNT OF MO-
      VING', = ',F3.0)
      M=M—1
      READ (1,202) (X(I),I=1,N)
      202 (FORMAT(16F5.0)
      MJ=N—M
      I=1
      DO 10 J=1, MJ
      XMT=0.
      XMA=0.
      IM=I+M
      DO 11 K=I, IM
      11 XMI=XMT+X(K)
      XMA=XMT/FM
      FP=(FM—1.)/2.
      FPI=I+FP
      WRITE(3,302) FPI, XMA
      302 FORMAT (5X,F3.0,5X,F12.3)
      10 I=I+1
      M=M+1
      12 CONTINUE
      STOP
      END

      EK. II. b

      COEFF FOR TWO DIM.GR.ANAL.
      PI=22./7.
      DO 11 M=1,10
      I=0
      DA=0.
      FM=0.
      FM=FLOAT(M)
      DA=FM/10.
      WRITE(3,110) DA
      110 FORMATA(/5X,F4.1,3X,20(1H*))
      DA2=DA**2.
      IF(I.EQ.0) GO TO 33
      KI=I/2
      KAL=I—(2*KI)
      IF(KAL.EQ.1) AFI=—1.
      IF(KAL.EQ.0) AFI=1.
      GO TO 44
      33 AFI=1.
      44 AFEX=(AFI*EXD)—1.

```

```

BFI=PI*(DA2+FI2)
BFID=DA/BFI
FIK=BFID*AFEX
10 WRITE(3,105) I,FIK
105 FORMAT(15X,I2,10X,F12.8)
I=I+1
IF(LGT,20) GO TO 11
GO TO 22
CONTINUE
STOP
END

```

EK. II. c

C DIRECT ESTIMATION OF MOHO  
DEPTH (TWO DIMENSIONAL CA-  
SE)

C  
C NS=NUMBER OF PROFILES  
C ND=NUMBER OF VALUES ON  
EACH PROFILE  
C KONT=END CONTROL OF PROFI-  
LE  
C M=AMOUNT OF MOVEMENT  
C N=AMOUNT OF SHIFT  
C C(K)=COEFFICIENTS  
C A(I)=VALUES ALONG THE  
PROFILE  
C  
C

DIMENSION C(20), A(200)

READ (1,100) (C(K), K=1,7)

```

100 FORMAT(F11.8)
DO 13 NS=1,22
WRITE(3,111)
111 FORMAT(//5X,'      ',5X)
READ(1,991) ND
99 FORMAT(I2)
READ(1,101) (A(I),I=1,ND)
101 FORMAT(16F5.0)
M=0
14 N=0
TCC=0.
DSIG=0.
H=0.
DO 15 K=1,7
KI=K=1,7
KI=K+N+M
CC=C(K)*A(KI)

```

```

N=N+1
15 TCC=TCC+CC
P2F=2.*3.14159*6.67
DSIG=TCC/P2F
H=DSIG/0.63
WRITE(3,102) H
102 FORMAT(1/2X,'H=',F10.5)
M=M+1
KONT=N+M+ 7
KONT=KONT-1
IF(KONT.GT.ND) GO TO 13
GO TO 14
13 CONTINUE
STOP
END

```

EK. III. a

C ANNUAL ENERGY RELEASE  
DIMENSION MY (2000), KM (2000),  
BM(2000)  
M=1
111 READ (1, 102, END=80) MY (M),  
KM(M)
102 FORMAT (6X, I4, 42X, I2)
M=M+1
GO TO 111
80 MM=1900
M=M-1
XETO=0.
TOP=0.
II=1
L=0
DO 1 I=1,M
BM(I)=KM(I)\*0.1
L=L+1
IF(MY(I).GT.MM) GO TO 5
6 IF(BM(I).LT.3.) GO TO 1
XLG=12.24+1.44\*BM(I)
XEN=10\*\*XLG
XETO=XETO+XEN
IF (I.EQ.M) GO TO 5
GO TO 1
5 IF (MM.EQ.1900) WRITE (3,104)
104 FORMAT (1H1///5X, 'SENE', 3X,  
3X, 'KUMULATIF TOPLAM (ERG)',  
/5X,4(1H\*),3X,26(1H\*),3X,21(1H\*))  
/5X,26(1H\*),3X,21(1H\*))  
II=II+1

```

IF(I.LEQ.50) WRITE(3,104)
TOP=TOP+XETO
WRITE(3,103) MM, XETO, TOP
XETO=0.
MM=MM+1
IF(MM.EQ.1970) GO TO 73
GO TO 6
1 CONTINUE
103 FORMAT (5X,I4,9X,E15.8,11X,
E15.8)
73 STOP
END

EK. III. b

C      CHICO AUTOSPEC
C      TUKEY WINDOW USED
C      DELTA = SAMPLING INTERVAL
C      NF = FREQUENCY POINTS
C      COVO, COV (K) = AUTOCOVARI-
C      ANCE ESTIMATES, K=0. MAXM
C
C      DIMENSION COV (100), CS (100)
C      SPEC (100), ALSC (100), WE (100)
C      READ (1,600) MAXM, DELTA, NF
600  FORMAT (I2,F2.0,I2)
      READ (1,601) COVO
601  FORMAT(32X,F16.4)
      READ(1,602)(COV(K),K=1,MAXM)
602  FORMAT(32X,F12.4)
      M=MAXM
      MB=MAXM--1

DO 11 K=1, MB
FK=FLOAT(K)
FM=FLOAT(M)
11  WE(K)=0.5*(1.+COS((22./7.)*
(FK/FM)))
I=0
22  FI=FLOAT (I)
FNF=FLOAT(NF)
IF(FI.EQ.0.) 60 TO 888
CS(I)=COS((22./7.)*(FI/FNF))
GO TO 999
888 CS(I)=1.
999 V0=0.
V1=0.
K=M-1
33  V2=2.*CS(I)*V1-V0+WE(K)*
COV(K)
V0=V1
V1=V2
K=K-1
IF(K.EQ.0) GO TO 44
GO TO 33
44  SPEC(I)=2.*DELTA*(COVO+2.*(
(V1*CS(I)-V0))
ALSC(I)= ALOG10(SPEC(I))
603  FORMAT(2X,I2,10X,F16.3,10X,F
16.3)
I=I+1
IF(I.GT.NF) GO TO 55
GO TO 22
55  STOP
END

```